

06

© 1992 г.

## ВЛИЯНИЕ ГОРЯЧИХ ДВУМЕРНЫХ НОСИТЕЛЕЙ НА ВОЗБУЖДЕНИЕ ВОЛНОВОДНЫХ МОД СВЧ-КОЛЕБАНИЙ ПЛОТНОСТИ ЗАРЯДА В ТРЕХСЛОЙНОЙ ГЕТЕРОСТРУКТУРЕ

Р. Г. Тарханян, К. М. Каранетян

Показано, что в трехслойной гетероструктуре с селективным легированием в условиях ОДП узкозонного материала возможна токовая неустойчивость квазистатических волноводных мод, обусловленная наличием горячих двумерных носителей заряда. Получены критерии неустойчивости, определены частота и длина генерируемых волн. Показано, что волны возбуждаются лишь при превышении толщины сердцевины волновода определенного минимального значения и лишь в ограниченной области значений угла между волновым вектором и направлением дрейфа носителей.

Изучение волновых неустойчивостей в полупроводниках представляет огромный интерес с точки зрения их использования для генерации и усиления волн различной природы, в том числе и волн плотности заряда (ВПЗ), имеющих важные применения в интегральной СВЧ-электронике и волноводной технике [1, 2].

В настоящей работе исследуется влияние горячих двумерных ( $2D$ ) подвижных электронов на токовую неустойчивость волноводных мод ВПЗ в полупроводниковой пленке ( $n = \text{GaAs}$ ), ограниченной с обеих сторон селективно легированными слоями широкозонного материала ( $N = \text{Al}_x\text{Ga}_{1-x}\text{As}$ ).<sup>1</sup> Неустойчивость возникает из-за разогрева объемных носителей в слое узкозонного материала, при этом весьма существенно наличие падающего участка на ВАХ, обусловленного пространственным переносом  $2D$ -носителей через гетеробарьеры под действием сильного постоянного электрического поля  $E_0$ , приложенного вдоль границы раздела слоев. При таком механизме отрицательной дифференциальной проводимости (ОДП), рассмотренном впервые в [4], пороговое значение поля значительно меньше, чем в случае междолинного переноса горячих носителей в объеме GaAs [5]. Фазовая скорость рассматриваемых волноводных мод определяется средней дрейфовой скоростью  $v_0$  объемных носителей в центральном слое гетероструктуры. Мы покажем, что в случае, когда дрейфовая скорость  $2D$ -носителей  $v_s \neq v_0$ , в симметричной трехслойной гетероструктуре возникает новый класс СВЧ колебаний плотности заряда, распространяющихся в центральном слое и "запертых" внутри него, но обусловленных наличием  $2D$ -носителей на границах раздела. Особенность этих мод заключается в том, что в заданном направлении распространения частота и длина волны имеют определенные фиксированные значения, зависящие от параметров как объемных, так и двумерных носителей, причем неустойчивость возникает лишь в определенной области значений угла между продольным волновым вектором  $K_{\parallel}$  и полем  $E_0$  и лишь в том случае, если толщина сердцевины волновода превышает некоторое определенное минимальное значение.

Пусть узкозонный полупроводник со статической удельной электропроводностью  $\sigma$  и диэлектрической проницаемостью  $\epsilon_L$  занимает область  $-l < x < l$ ; в областях  $x < -l$  и  $x > l$  селективно легированный широкозонный материал, ха-

<sup>1</sup>Основные результаты работы доложены на V Всесоюзной конференции по физическим процессам в полупроводниковых гетероструктурах [3].

рактизуемый постоянными  $\sigma_1$  и  $\varepsilon_{L1}$ . Вдоль границ раздела слоев приложено сильное поле  $E \parallel oz$ . При разогреве на ВАХ центрального слоя появляется нелинейный участок, который характеризуется дифференциальной проводимостью  $\sigma_d$ . Нелинейностью ВАХ широкозонных материалов пренебрегаем. Удельная и дифференциальная проводимости системы 2D-электронов, локализованных у границ раздела слоев, характеризуются величинами  $\sigma_s$  и  $\sigma_s^d$ . Малое возмущение (флуктуация) электрического поля  $E$  приводит к изменению плотности зарядов и токов для всех групп носителей. В узкозонном материале плотность тока проводимости изменяется на вектор  $J$  с составляющими

$$J_x = \sigma E_x, J_y = \sigma E_y, J_z = \sigma_d E_z + \rho v_0, \quad (1)$$

где плотность индуцированного объемного заряда  $\rho$  связана с током  $J$  уравнением непрерывности

$$\operatorname{div} J + \frac{\partial \rho}{\partial t} = 0. \quad (2)$$

Плотность поверхностного тока при этом изменяется на вектор с составляющими

$$J_{sy} = \sigma_s E_y, J_{sz} = \sigma_s^d E_z + \rho_s v_{0s}, \quad (3)$$

где  $\rho_s$  — возмущение плотности поверхностного заряда.

Нас интересует квазиэлектростатические возмущения, частоты которых меньше значений, при которых сказывается частотная дисперсия электропроводности ( $\omega\tau \ll 1$ ,  $\tau$  — время релаксации носителей по энергии). Эти возмущения описываются уравнениями

$$\operatorname{rot} E = 0, \operatorname{div} D = 4\pi\rho, \quad (4)$$

где  $D = \varepsilon_L E$ .

Волноводным модам соответствуют такие решения уравнений (4), поле которых экспоненциально затухает при  $|x| > l$  и стремится к нулю в бесконечности, а в области  $|x| < l$  выражается тригонометрическими функциями. Представим это поле в виде

$$E = -\operatorname{grad} \psi, \psi(x, y, z, t) = \psi(x) \exp[i(k_y y + k_z z - \omega t)]. \quad (5)$$

Тогда из (2) и (4) с помощью (1) получим выражение для возмущения плотности объемного заряда (экспоненциальный множитель опускается)

$$\rho(x) = \begin{cases} \frac{\varepsilon_L}{4\pi} k_z^2 \left[ 1 - \frac{\varepsilon_d(\omega)}{\varepsilon(\omega)} \right] \psi(x), & |x| < l, \\ 0, & |x| > l \end{cases} \quad (6)$$

и скалярное волновое уравнение

$$\Psi''(x) = \begin{cases} \left[ k_y^2 + k_z^2 \frac{\varepsilon_d(\omega)}{\varepsilon(\omega)} \right] \Psi(x), & |x| < l, \\ k_{\parallel}^2 \Psi(x), & |x| > -l, \end{cases} \quad (7)$$

где

$$k_{\parallel}^2 = k_y^2 + k_z^2, \varepsilon(\omega) = \varepsilon_L + \frac{4\pi i \sigma}{\omega - k_z v_0}, \varepsilon_d(\omega) = \varepsilon_L + \frac{4\pi i \sigma_d}{\omega - k_z v_0}. \quad (8)$$

Решение уравнения (7) имеет вид

$$\Psi(x) = \begin{cases} Ae^{-k_1 x}, & x > l, \\ Be^{ik_x x} + Ce^{-ik_x x}, & |x| < l, \\ De^{k_1 x}, & x < -l, \end{cases} \quad (9)$$

где

$$k_x^2 = -k_y^2 - k_z^2 \frac{\varepsilon_d(\omega)}{\varepsilon(\omega)}. \quad (10)$$

Для определения постоянных  $A$ ,  $B$ ,  $C$  и  $D$  воспользуемся граничными условиями

$$\Psi(l+0) = \Psi(l-0), \quad \varepsilon_L \Psi'(l-0) - \varepsilon_{L1} \Psi'(l+0) = 4\pi\rho_s(l), \quad (11a)$$

$$\Psi(-l+0) = \Psi(-l-0), \quad \varepsilon_{L1} \Psi'(-l-0) - \varepsilon_L \Psi'(-l+0) = 4\pi\rho_s(-l), \quad (11b)$$

выражающими непрерывность тангенциальных составляющих поля  $E_y$ ,  $E_z$  и разрыв нормальной составляющей вектора индукции  $D_x$  на границах раздела слоев  $x=l$  и  $x=-l$  соответственно. Возмущения плотности поверхностного заряда  $\rho_s(\pm l)$  находим, интегрируя уравнение непрерывности (2) по бесконечно тонкому слою у соответствующей границы и учитывая соотношения (3). Тогда после несложных преобразований получим

$$\rho_s(l) = \frac{(\sigma_s k_y^2 + \sigma_s^d k_z^2) \Psi(\pm l) \pm [\sigma \Psi'(\pm(l-0)) - \sigma_1 \Psi'(\pm(l+0))]}{i(\omega - k_z v_{0s})}. \quad (12)$$

Подставляя (9) и (12) в (11a), (11b), получим систему линейных однородных уравнений относительно коэффициентов  $A$ ,  $B$ ,  $C$ ,  $D$ . Условие совместного решения этих уравнений приводит к двум характеристическим уравнениям, связывающим частоту волны  $\omega$  с продольным волновым вектором  $k_{||} = (k_y, k_z)$ ,

$$\frac{\varepsilon_s k_x}{\varepsilon_s d_{||}} = \begin{cases} \text{ctg}(k_x l), \\ -\text{tg}(k_x l), \end{cases} \quad (13a)$$

где

$$\varepsilon_s = \varepsilon_L + \frac{4\pi i \sigma}{\omega - k_z v_{s0}}, \quad \varepsilon_s^d = \varepsilon_{L1} + \frac{4\pi i \Sigma}{\omega - k_z v_{s0}}, \quad (13b)$$

$$\Sigma = \sigma_1 + k_{||} (\sigma_s \sin^2 \varphi + \sigma_s^d \cos^2 \varphi), \quad (14)$$

$\varphi$  — угол между постоянным электрическим полем  $E_0$  и волновым вектором  $k_{||}$ .

Уравнение (13a) соответствует четной ( $B=C$ ,  $\Psi(x) \sim \cos(k_x x)$ ), а (13b) — нечетной моде ( $B=-C$ ,  $\Psi(x) \sim \sin(k_x x)$ ). Из (8) и (10) следует, что волноводные моды существуют ( $k_x$  — действительная величина), лишь если  $\sigma_d \neq \sigma$ , т. е. в случае разогрева объемных носителей в области  $|x| < l$ . Кроме того, необходимо выполнение условий

$$\text{Im} \left[ \frac{\varepsilon_d(\omega)}{\varepsilon(\omega)} \right] = 0, \quad (15a)$$

$$\frac{\varepsilon_d(\omega)}{\varepsilon(\omega)} + \text{tg}^2 \varphi < 0. \quad (15b)$$

Из (15a) получим

$$\text{Re } \omega = k_{||} v_0 \cos \varphi, \quad (16)$$

откуда следует, что фазовая скорость волноводных мод  $\text{Re } \omega / k_{\parallel}$  определяется средней дрейфовой скоростью объемных носителей в узкозонном материале  $v_0$  и зависит от направления распространения волны относительно поля  $E_0$ . Таким образом, в симметричной гетероструктуре четная и нечетная моды при заданных значениях  $k_{\parallel}$  и  $\varphi$  имеют одинаковые значения частоты  $\text{Re } \omega$ , но различные инкременты нарастания (либо декременты затухания)  $\gamma = \text{Im } \omega$ , которые даются решениями уравнений (13а), (13б). В случае  $\gamma > 0$  амплитуда волны нарастает со временем, т. е. имеет место неустойчивость. Подставляя (16) в (15б), получим, что неустойчивость волноводных мод возможна лишь при выполнении условий

$$\sigma_d < 0, \quad |\sigma_d| > tg^2 \varphi, \quad (17a)$$

$$0 < \gamma < \frac{4\pi}{\epsilon_L} \bar{\alpha}^2, \quad (17b)$$

где

$$\bar{\alpha} = \left( \frac{|\sigma_d|}{\sigma} \cos^2 \varphi - \sin^2 \varphi \right)^{1/2}. \quad (18)$$

Поскольку порог ОДП для 2D-носителей ниже, чем для объемных, то при выполнении (17а) имеет место еще одно условие  $\sigma_s^d < 0$ .

Перейдем теперь к исследованию уравнений (13а), (13б). Подставляя в них  $k_x = \alpha k_{\parallel}$  и используя (8), (10), (14) и (16), получим для четных и нечетных мод соответственно

$$\frac{\alpha \beta \epsilon_L}{\epsilon_{L1}} = \begin{cases} \text{ctg}(\alpha k_{\parallel} l), \\ -\text{tg}(\alpha k_{\parallel} l), \end{cases} \quad (19a)$$

$$(19b)$$

где

$$\alpha^2 = -1 + \frac{4\pi \cos^2 \varphi (\sigma + |\sigma_d|)}{4\pi \sigma + \epsilon_L \gamma}, \quad (20)$$

$$\beta = \frac{k_z(v_0 - v_s) + i \left( \gamma + \frac{4\pi \sigma}{\epsilon_L} \right)}{k_z(v_0 - v_s) + i \left( \gamma + \frac{4\pi \Sigma}{\epsilon_{L1}} \right)}. \quad (21)$$

Критерий неустойчивости (17б) при этом принимает вид

$$0 < \alpha < \bar{\alpha}(\varphi). \quad (22)$$

Поскольку правые части уравнений (19а) и (19б) вещественны, то следует положить  $\text{Im } \beta = 0$ . Это условие выполняется лишь в двух случаях: 1)  $v_0 = v_s$ , 2)  $v_0 \neq v_s$ , но

$$\frac{\sigma}{\epsilon_L} = \frac{\Sigma}{\epsilon_{L1}}. \quad (23)$$

Поскольку в реальных гетероструктурах  $v_s \neq v_0$  (обычно  $v_s > v_0$  [6]), то в дальнейшем рассмотрим лишь случай (23). При этом получим

$$\alpha \frac{\epsilon_{L1}}{\epsilon_L} = \begin{cases} \text{ctg}(\alpha \bar{k}_{\parallel} l), \\ -\text{tg}(\alpha \bar{k}_{\parallel} l), \end{cases} \quad (24)$$

где

$$\bar{k}_{\parallel} = \frac{\sigma \frac{\varepsilon_{L1}}{\varepsilon_L} - \sigma_1}{\sigma \sin^2 \varphi - |\sigma_s^d| \cos^2 \varphi}. \quad (25)$$

В рассматриваемой гетероструктуре  $\sigma/\varepsilon_L > \sigma_1/\varepsilon_{L1}$ , и поскольку  $\bar{k}_{\parallel}$  — модуль волнового вектора, то из (25) следует, что соответствующая волна существует, лишь если

$$|\sigma_s^d| < \sigma_s \operatorname{tg}^2 \varphi. \quad (26)$$

Сочетание этого условия с (17а) приводит к выводу, что рассматриваемая волна возбуждается лишь в ограниченной области значений угла  $\varphi$

$$\frac{|\sigma_s^d|}{\sigma} < \operatorname{tg}^2 \varphi < \frac{|\sigma_d^d|}{\sigma}. \quad (27)$$

При изменении угла  $\varphi$  в этой области величина  $\bar{k}_{\parallel}$  монотонно убывает с ростом  $\varphi$ , оставаясь однако всегда больше минимального значения,

$$k_0 = \frac{(\sigma \varepsilon_{L1} - \sigma_1 \varepsilon_L)(\sigma + |\sigma_d^d|)}{\varepsilon_L(\sigma_s |\sigma_d^d| - \sigma |\sigma_s^d|)}. \quad (28)$$

Это значит, что длина волны возбуждаемой моды ограничена сверху, а частота — снизу:  $\lambda < \lambda_{\max}$ ,  $\operatorname{Re} \omega > \omega_{\min}$ , где

$$\lambda_{\max} = \frac{2\pi}{k_0}, \quad \omega_{\min} = \frac{k_0 v_0}{\sqrt{1 + \frac{|\sigma_d^d|}{\sigma}}}. \quad (29)$$

Полагая для оценок (2)  $\sigma/\varepsilon_L = 0.22 \cdot 10^{12} \text{ c}^{-1}$ ,  $\sigma_1/\varepsilon_{L1} = 0.12 \cdot 10^{11} \text{ c}^{-1}$ ,  $\sigma_s^d/\sigma_3 = 0.125$ ,  $|\sigma_d^d|/\sigma = 0.25$ , из (27)—(29) получим  $19.5 < \varphi < 26.6^\circ$ ,  $k_0 \approx 4.37 \cdot 10^3 \text{ см}^{-1}$ ,  $\lambda_{\max} = 14.4 \text{ мкм}$ ,  $\omega_{\min} = 7.8 \cdot 10^{11} \text{ c}^{-1}$ .

Таким образом, в случае  $v_s \neq v_0$  возможна неустойчивость волноводных мод ВПЗ с определенными значениями волнового числа (25) и частоты (16), зависящими от параметров как объемных, так и 2D-носителей заряда. Эти значения одинаковы для четной и нечетной мод и не зависят от толщины активного центрального слоя рассматриваемой симметричной гетероструктуры. Волноводные моды возбуждаются лишь при наличии ОДП как объемных, так и 2D-носителей, при этом фазовая скорость зависит от направления распространения волн и ограничена условием

$$v_0 \sqrt{1 + \frac{|\sigma_d^d|}{\sigma}} < v_\varphi < v_0 \sqrt{1 + \frac{|\sigma_s^d|}{\sigma}}. \quad (30)$$

Инкремент нарастания  $\gamma$  в отличие от частоты и длины волны существенно зависит от толщины центрального слоя гетероструктуры и имеет различные значения для четной и нечетной мод. Зависимость  $\gamma$  от толщины  $l$  определяется трансцендентными уравнениями (24), которые имеют множество различных дискретных решений  $\alpha_n = \alpha_n(\bar{k}_{\parallel} l)$ , каждому из которых соответствует определенная ветвь многозначной функции  $\gamma_n = \gamma_n(\bar{k}_{\parallel} l)$

$$\gamma = \frac{4\pi}{\varepsilon_L} \left[ -\sigma + \frac{\cos^2 \varphi (\sigma + |\sigma_d^d|)}{1 + \alpha_n^2} \right], \quad (31)$$

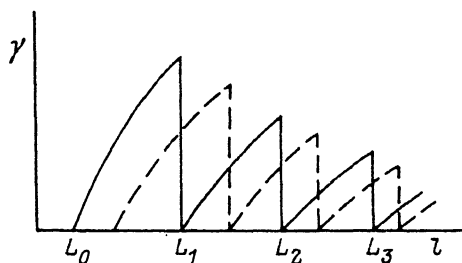
где индекс  $n = 0, 1, 2, \dots$  характеризует номер ветви.

Эти ветви нигде не пересекаются. Каждой ветви соответствует свое "пороговое" значение для полутолщины сердцевины волновода  $L_n$ , при котором возникает неустойчивость, причем чем выше номер ветви  $n$ , тем больше соответствующее значение  $L_n$ . Таким образом, критерий неустойчивости можно представить в виде условия

$$l > L_n, L_n = \frac{1}{\bar{\alpha} \bar{k}_{\parallel}} \begin{cases} \pi n + \operatorname{arccctg} \left( \frac{\varepsilon_L \bar{\alpha}}{\varepsilon_{L1}} \right), \\ \pi \left( n + \frac{1}{2} \right) + \operatorname{arccctg} \left( \frac{\varepsilon_L \bar{\alpha}}{\varepsilon_{L1}} \right), \end{cases} \quad (32)$$

$\bar{\alpha}$  и  $\bar{k}_{\parallel}$  даны в (18) и (25).

Нарастание амплитуды волны со временем естественно характеризовать той ветвью  $\gamma_n$ , которая обладает наименьшим положительным значением при данной толщине  $l$ . Это значит, что инкремент нарастания имеет "размерно-кусочный" характер  $\gamma = \gamma_0$ , если  $L_0 < l \leq L_1$ ,



Зависимость инкремента нарастания от  $l$  для нескольких первых ветвей  $n = 0, 1, 2, 3$ .

Сплошные кривые — четные моды, штриховые — нечетные.

$\gamma = \gamma_1$ , если  $L_1 < l < L_2$ , и вообще  $\gamma = \gamma_n$ , если  $L_n < l < L_{n+1}$ . Все ветви  $\gamma_n$  являются монотонно возрастающими функциями от  $l$ , причем чем больше номер ветви  $n$ , тем меньше максимальное значение  $\gamma_n$  (см. рисунок). Таким образом, неустойчивость волноводной моды с заданным значением волнового числа  $\bar{k}_{\parallel}$  возможна, лишь если полутолщина сердцевины волновода  $l$  превышает определенное минимальное значение  $L_0$ . Интересно отметить, что для возбуждения нечетной моды сердцевина должна быть более чем в два раза толще, чем для возбуждения четной моды,

$$\frac{L_0^{\text{нч}}}{L_0^{\text{ч}}} = 1 + \frac{\pi}{2 \operatorname{arccctg} \left( \frac{\varepsilon_L \bar{\alpha}}{\varepsilon_{L1}} \right)} > 2. \quad (33)$$

И, наконец, еще один вывод: при заданной толщине  $l > L_0^{\text{нч}}$  инкремент нарастания для нечетной моды всегда меньше, чем для четной моды с той же длиной волны.

При малых положительных значениях  $\gamma$ , т. е. вблизи  $l = L_n$ , в левой части уравнений (24) можно положить  $\alpha = \bar{\alpha}$  (18). Тогда получим

$$\alpha_n = \frac{L_n}{l} \bar{\alpha}, \quad (34)$$

где  $L_n$  дается в (32).

Подставляя (34) в (31), получим явную зависимость  $\gamma_n$  от  $l$  и от  $\varphi$

$$\gamma_n = \frac{4\pi}{\varepsilon_L} (|\sigma_d| \cos^2 \varphi - \sigma \sin^2 \varphi) \frac{l^2 - L_n^2}{l^2 + (\bar{\alpha} L_n)^2}, \quad (35)$$

откуда и вытекают критерии неустойчивости, которые, как и следовало ожидать, в точности совпадают с (32) и (17а). Вдали же от  $l = L_n$ , в том числе и при достаточно толстой сердцевине структуры, когда  $l\bar{k}_q \gg 1$ , из (24) и (31) получим несколько иную зависимость  $\gamma_n$  от  $l$

$$\alpha_n \approx \frac{\pi N}{\bar{k}_q l} \ll 1, \quad (36)$$

$$\gamma_n = \frac{4\pi}{\varepsilon_L} (|\sigma_d| \cos^2 \varphi - \sigma \sin^2 \varphi) \left[ 1 - \left( \frac{l_n}{l} \right)^2 \right], \quad (37)$$

где

$$l_n = \frac{\pi N}{\bar{k}_q \alpha} \sqrt{1 + \alpha^2}, \quad (38)$$

$N = n + 1/2$  для четной и  $N = n + 1$  для нечетной моды.

Заметим, что поскольку нормальная составляющая волнового вектора в области  $|x| < l$ ,  $k_x = \alpha_n \bar{k}_q$ , то в обоих рассмотренных случаях разность фаз нечетной и четной мод равна  $(\pi x)/(2l)$ .

Следует отметить, что описанные выше волны могут быть возбуждены не только в структурах GaAs—Al<sub>x</sub>Ga<sub>1-x</sub>As, но и в других трехслойных гетероструктурах. Основные требования, которые должны предъявляться при выборе материалов, следующие: 1) наличие подвижных двумерных носителей заряда на границах раздела слоев; 2) наличие ОДП в системе объемных носителей в центральном слое гетероструктуры, а также 2D-носителей; 3) пороговое поле для 2D-носителей должно быть меньше поля, при котором начинается падение тока объемных носителей.

#### Список литературы

- [1] Пожела Ю. К. Плазма и токовые неустойчивости в полупроводниках. М.: Наука, 1977. 368 с.
- [2] Кальфа А. А., Тагер А. С. // Электронная техника. Электроника СВЧ. 1982. № 12. С. 26—38.
- [3] Тарханян Р. Г., Карапетян К. М. // Тез. докл. V Всесоюз. конф. по физическим процессам в полупроводниковых гетероструктурах. Калуга, 1990. Т. 1. С. 105—106.
- [4] Грибников Э. С. // ФТП. 1972. Т. 6. Вып. 7. С. 1380—1382.
- [5] Hess K., Morcos H., Shichijo H., Streetman B. // Appl. Phys. Lett. 1979. Vol. 35. N 6. P. 469—471.
- [6] Андо Т., Фаулер А., Стерн Ф. Электронные свойства двумерных систем. М.: Мир, 1985. 416 с.

Институт радиофизики и электроники  
Ереван

Поступило в Редакцию  
12 мая 1991 г.